

Starkniederschlagshöhen und -spenden gemäß KOSTRA-DWD-2010R

Auswertungszeitraum von 1951 - 2010, Januar - Dezember

Rasterfeld: 83031

Zeile: 83

Spalte: 31

Seite: 1/2

| Dauerstufe D | | Wiederkehrzeit T | | | | | | | | | | | | | | | | | |
|--------------|-----|------------------|------------|------|------------|------|------------|------|------------|------|------------|------|------------|-------|------------|-------|------------|-------|------------|
| | | 1 a | | 2 a | | 3 a | | 5 a | | 10 a | | 20 a | | 30 a | | 50 a | | 100 a | |
| min | Std | mm | l / (s ha) | mm | l / (s ha) | mm | l / (s ha) | mm | l / (s ha) | mm | l / (s ha) | mm | l / (s ha) | mm | l / (s ha) | mm | l / (s ha) | mm | l / (s ha) |
| 5 | | 5,6 | 186,7 | 7,6 | 253,3 | 8,7 | 290,0 | 10,2 | 340,0 | 12,2 | 406,7 | 14,2 | 473,3 | 15,3 | 510,0 | 16,8 | 560,0 | 18,8 | 626,7 |
| 10 | | 8,9 | 148,3 | 11,6 | 193,3 | 13,2 | 220,0 | 15,2 | 253,3 | 17,9 | 298,3 | 20,6 | 343,3 | 22,1 | 368,3 | 24,1 | 401,7 | 26,8 | 446,7 |
| 15 | | 11,2 | 124,4 | 14,4 | 160,0 | 16,3 | 181,1 | 18,6 | 206,7 | 21,8 | 242,2 | 25,1 | 278,9 | 26,9 | 298,9 | 29,3 | 325,6 | 32,5 | 361,1 |
| 20 | | 12,8 | 106,7 | 16,4 | 136,7 | 18,6 | 155,0 | 21,3 | 177,5 | 24,9 | 207,5 | 28,5 | 237,5 | 30,6 | 255,0 | 33,3 | 277,5 | 37,0 | 308,3 |
| 30 | | 15,0 | 83,3 | 19,3 | 107,2 | 21,8 | 121,1 | 25,0 | 138,9 | 29,4 | 163,3 | 33,7 | 187,2 | 36,3 | 201,7 | 39,5 | 219,4 | 43,8 | 243,3 |
| 45 | | 16,9 | 62,6 | 22,0 | 81,5 | 25,1 | 93,0 | 28,9 | 107,0 | 34,1 | 126,3 | 39,2 | 145,2 | 42,3 | 156,7 | 46,1 | 170,7 | 51,3 | 190,0 |
| 60 | | 18,0 | 50,0 | 23,9 | 66,4 | 27,3 | 75,8 | 31,6 | 87,8 | 37,5 | 104,2 | 43,4 | 120,6 | 46,8 | 130,0 | 51,1 | 141,9 | 57,0 | 158,3 |
| 90 | | 20,1 | 37,2 | 26,2 | 48,5 | 29,8 | 55,2 | 34,2 | 63,3 | 40,3 | 74,6 | 46,4 | 85,9 | 50,0 | 92,6 | 54,4 | 100,7 | 60,5 | 112,0 |
| 120 | 2 | 21,8 | 30,3 | 28,0 | 38,9 | 31,7 | 44,0 | 36,3 | 50,4 | 42,5 | 59,0 | 48,7 | 67,6 | 52,4 | 72,8 | 57,0 | 79,2 | 63,2 | 87,8 |
| 180 | 3 | 24,4 | 22,6 | 30,8 | 28,5 | 34,6 | 32,0 | 39,4 | 36,5 | 45,8 | 42,4 | 52,3 | 48,4 | 56,0 | 51,9 | 60,8 | 56,3 | 67,2 | 62,2 |
| 240 | 4 | 26,4 | 18,3 | 33,0 | 22,9 | 36,9 | 25,6 | 41,7 | 29,0 | 48,4 | 33,6 | 55,0 | 38,2 | 58,8 | 40,8 | 63,7 | 44,2 | 70,3 | 48,8 |
| 360 | 6 | 29,5 | 13,7 | 36,4 | 16,9 | 40,4 | 18,7 | 45,4 | 21,0 | 52,3 | 24,2 | 59,1 | 27,4 | 63,1 | 29,2 | 68,2 | 31,6 | 75,0 | 34,7 |
| 540 | 9 | 33,0 | 10,2 | 40,1 | 12,4 | 44,3 | 13,7 | 49,5 | 15,3 | 56,6 | 17,5 | 63,6 | 19,6 | 67,8 | 20,9 | 73,0 | 22,5 | 80,1 | 24,7 |
| 720 | 12 | 35,8 | 8,3 | 43,0 | 10,0 | 47,3 | 10,9 | 52,6 | 12,2 | 59,9 | 13,9 | 67,1 | 15,5 | 71,4 | 16,5 | 76,7 | 17,8 | 84,0 | 19,4 |
| 1080 | 18 | 40,0 | 6,2 | 47,5 | 7,3 | 51,9 | 8,0 | 57,5 | 8,9 | 65,0 | 10,0 | 72,5 | 11,2 | 76,9 | 11,9 | 82,4 | 12,7 | 89,9 | 13,9 |
| 1440 | 24 | 43,3 | 5,0 | 51,0 | 5,9 | 55,5 | 6,4 | 61,2 | 7,1 | 68,9 | 8,0 | 76,6 | 8,9 | 81,1 | 9,4 | 86,8 | 10,0 | 94,5 | 10,9 |
| 2880 | 48 | 52,1 | 3,0 | 60,9 | 3,5 | 66,0 | 3,8 | 72,5 | 4,2 | 81,3 | 4,7 | 90,1 | 5,2 | 95,2 | 5,5 | 101,7 | 5,9 | 110,5 | 6,4 |
| 4320 | 72 | 58,0 | 2,2 | 67,4 | 2,6 | 73,0 | 2,8 | 79,9 | 3,1 | 89,4 | 3,4 | 98,8 | 3,8 | 104,3 | 4,0 | 111,3 | 4,3 | 120,7 | 4,7 |

Angaben in mm: Bemessungsniederschlagswerte h(n)

Angaben in l / (s ha): Regenspende R(n) mit $R(n) = h(n) \times 1,666667 / D[\text{min}]$

Toleranzbereiche:

+/- 10 % für $1 \text{ a} \leq T \leq 5 \text{ a}$

+/- 15 % für $5 \text{ a} < T \leq 50 \text{ a}$

+/- 20 % für $50 \text{ a} < T \leq 100 \text{ a}$

Datenbasis: KOSTRA-DWD-2010R des Deutschen Wetterdienstes. Die Regenspende wurde auf Basis des Bemessungsniederschlags zur jeweiligen Andauer berechnet.

Für die Richtigkeit und Aktualität der Angaben wird keine Gewähr übernommen. Erstellt 07/2022.

Starkniederschlagshöhen und -spenden gemäß KOSTRA-DWD-2010R

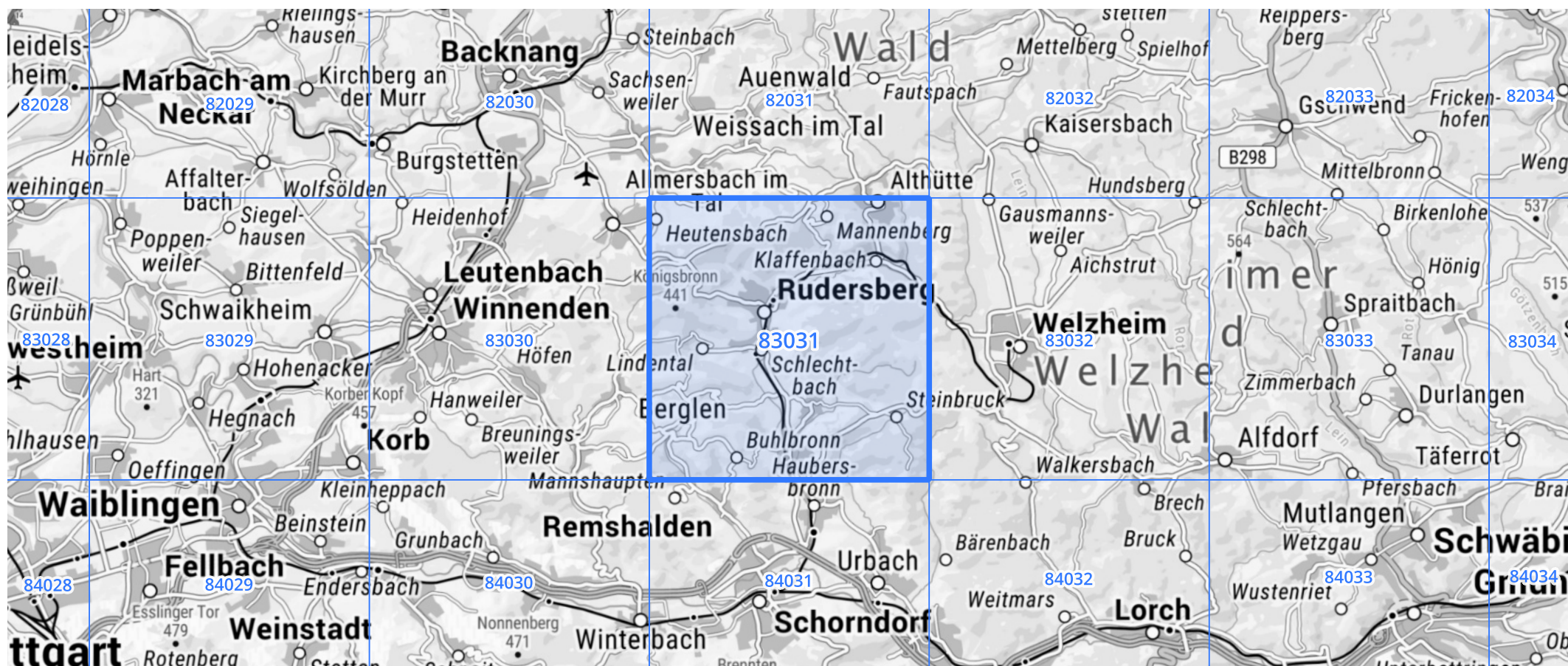
Auswertungszeitraum von 1951 - 2010, Januar - Dezember

Rasterfeld: 83031

Zeile: 83

Spalte: 31

Seite: 2/2



Quelle Rasterdaten: KOSTRA-DWD-2010R des Deutschen Wetterdienstes.

Kartendarstellung: © Bundesamt für Kartographie und Geodäsie (2022), Datenquellen: https://sgx.geodatenzentrum.de/web_public/gdz/datenquellen/Datenquellen_TopPlusOpen.html

Für die Richtigkeit und Aktualität der Angaben wird keine Gewähr übernommen. Erstellt 07/2022.